

DeneySEL Gazyađı Zehirlenmesinde Akciđer Bulgularının Histopatolojik ve Radyolojik Olarak İncelenmesi

THE HIS TOPA THOLOGICAL AND RADIOLOGICAL EVALUA TION OF PULMONARY LESIONS IN EXPERIMENTAL KEROSENE INGESTION

Yrd.Doç.Dr.Ünsai ÖZGEN*, Yrd.Doç.Dr.Kaya SARAÇ**, Yrd.Doç.Dr.Ayşe BALAT*, Uz.Dr.Cahit TAHTALI", Dr.Mehmet TURGUT*, Prof.Dr.N.Engin AYDİN***

inönü Üniversitesi Tıp Fakültesi 'Çocuk Sağlığı ve Hastalıkları ABD, "Radyoloji ABD, »"Patoloji ABD, MALATYA

ÖZET

Çocukluk yaş grubunda önemli bir problem olan hidrokarbon zehirlenmelerinin saptanması en sık ve ciddi komplikasyonu kimyasal pnömonidir. Kimyasal pnömoninin klinik ve radyolojik olarak saptanması tedavi ve prognoz açısından önemlidir. Bu çalışmada deneysel gazyađı zehirlenmesi oluşturulan 20 adet tavşanda akciđer lezyonları postero-anterior göđüs röntgenogramı ve bilgisayarlı tomografi ile değerlendirildi. Bu radyolojik sonuçlar akciđer dokusunun makroskopik ve mikroskopik histopatolojik bulguları ile karşılaştırıldı. Makroskopik olarak 14, mikroskopik olarak 15 denekte patolojik lezyon görüldü. Göđüs röntgenogramlarında 3, BT'de 11 denekte patolojik görüntü saptandı. Bulgularımız kimyasal pnömonide göđüs röntgenogramlarının yeterli olmadığı lezyonların saptanmasında, hospitalizasyon açısından bilgisayarlı tomografi incelemesinin gerekli olduğu göstermektedir.

Anahtar Kelimeler: Bilgisayarlı tomografi, Gazyađı zehirlenmesi, Histopatoloji, Kimyasal pnömoni

T Klin Pediatr 1994, 3:95-98

Beş yaşın altındaki çocuklarda, zehirlenmelerin %5'ini oluşturan hidrokarbon alımlarının en önemli komplikasyonu aspirasyona bađlı kimyasal pnömonidir (1-5). Kimyasal pnömoniyeye bađlı radyolojik deđişiklikler yaklaşık olarak %65-75 oranında görülmektedir (2,6,7). Erken dönemde tipik radyolojik görünüm; karakteristik alveoler ödem ile uyumlu, sıklıkla bilateral simetrik tutulum gösteren, özellikle akciđerin medial ve bazalini tu-

Geliş Tarihi: 24.6.1994

Kabul Tarihi: 15.2.1995

Yazışma Adresi: Yrd.Doç.Dr.Ünsai ÖZGEN
İnönü Üniversitesi Tıp Fakültesi
Çocuk Sağlığı ve Hastalıkları ABD,
MALATYA

Anatolian J Pediatr 1994, 3

SUMMARY

Chemical pneumonia is one of the most serious and frequent complication. In hydrocarbon intoxication, which is a common problem in pediatric age group. Clinical and radiological diagnosis of chemical pneumonia is important from the point of treatment and prognosis. In this study, 20 rabbits with pulmonary lesions induced by kerosene ingestion have been evaluated by chest radiograms and computed tomography (CT). The radiological results have been compared with macroscopical and microscopical lesions have been shown respectively. Pathological findings have been shown in 3 animals by chest radiograms and 11 animal by CT. In conclusion, chest radiograms are not as sufficient as CT in diagnosis of chemical pneumonia and evaluation of the cases by CT is necessary for hospitalization.

Key Words: Chemical pneumonia, Computed tomography, Histopathology, Kerosene ingestion

Anatolian J Pediatr 1994, 3:95-98

tan yamalı konsolidasyon sahaları şeklindedir (8-10) ve genellikle radyolojik olarak 12. saatte belirginleşmeye başlar (11). Pulmoner aspirasyonun olduğu tüm zehirlenmelerde farklı derecelerde histopatolojik deđişiklikler görülmekte olup; fokal kanamalar, hemorajik infarkt, ödem, interstisyel inflamasyon ve pnömatosel oluşumu başlıca bulgulardır (2,12). Genellikle histopatolojik ve radyolojik bulgular korelasyon göstermektedir.

Akciđer hastalıklarının değerlendirilmesinde postero-anterior (PA) göđüs röntgenogramları primer görüntüleme yöntemi olarak kullanılmakla birlikte bilgisayarlı tomografi (BT); üstün kontrast sensitivitesi, kesit anatomisi vermesi, süperpozisyonları önlemesi nedeniyle lezyonların saptanması ve karakterizasyonunda daha değerlidir (13,14). Kimyasal pnömonilerde histopatolojik

95

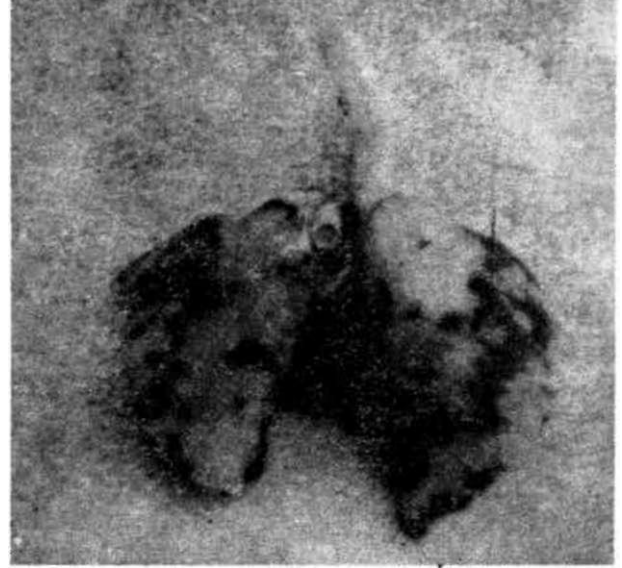
değişikliklerin farklı derecelerde olması, bunların göğüs röntgenogramları ve BT görünümünün de farklı olabileceğini düşündürmektedir. Bu çalışma histopatolojik değişiklerin radyolojik olarak PA göğüs röntgenogramı ve BT uyumluluk derecesini saptamak amacıyla planlandı.

MATERYEL VE METOD

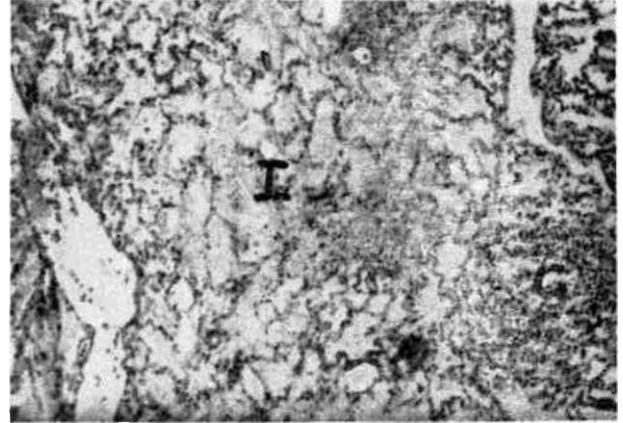
Çalışmamızda yaşları 16-22 hafta, ağırlıkları 720-950 gr arasında değişen 30 adet Chinchilla türü tavşan kullanıldı. Sekiz saatlik açlık periyodunu takiben 20 adet denekten oluşan çalışma grubuna oragastrik tüp ile 20 ml/kg gazyağı. 10 adet tavşandan oluşan kontrol grubuna 20 ml/kg %0.9 NaCl aynı yolla verildi. Tüm deneklere 30 dakika sonra oragastrik tüp ile her defasında onar ml alınıp verilerek toplam 100 ml/kg %0.9 NaCl ile gastrik lavaj yapıldı. Lavaj sonrası gözleme alınan deneklere 12. 24. ve 48. saatlerde PA göğüs röntgenogramı ve kesit kalınlığı 2 mm olacak şekilde BT çekildi. Tüm denekler 48. saatte pentotal anestezisi altında öldürülerek %10 formalin ile sistemik perfüzyon uygulandı. Perfüzyon sonrası akciğerler total olarak çıkarıldı ve makroskopik olarak renk değişikliği yönüyle incelendi. Tüm akciğer dokusunda çapı 3 mm'den büyük, sayısı 5'den fazla kahverengi lezyonların görülmesi halinde makroskopik bulgu pozitif kabul edildi. Tüm akciğer formlarından alınan doku örnekleri rutin parafin takibinden sonra kesitler alınarak hemotoksilen-eozin ile boyandı ve ışık mikroskopunda incelendi. Tüm kesitler fokal kanama, hemorajik infarkt, distal hava yollarında genişleme ve pnömonik infiltrasyon yönüyle incelenerek, bunlardan birinin varlığı halinde mikroskopik bulgu pozitif olarak değerlendirildi. Çekilen göğüs röntgenogramları ve BT'ler özellikle alveolar nodüler dansiteler ve konsolidasyon yönünden incelendi. Herhangi birinin varlığı halinde radyolojik bulgu pozitif olarak kabul edildi. İstatistiksel çalışmalarda Ki-kare testi uygulandı.

SONUÇLAR

Çalışma grubundaki deneklerin akciğerlerinin makroskopik incelenmesinde 14 tanesinde belirlenen miktarın üzerinde renk değişikliği görüldü (Şekil 1). Aynı dokuların mikroskopik incelenmesinde; fokal kanama 10, hemorajik infarkt 8 (Şekil 2), pnömonik infiltrasyon 8, distal hava yollarında genişleme 9 **denekte** görüldü. Deneklerin 15'inde bu bulgulardan en az biri mevcuttu ve bunlarda mikroskopik bulgu pozitif kabul edildi (Tablo 1). PA göğüs röntgenogramlarında 3, **BT'de 11** denekte alveolar nodüller ve konsolidasyon izlendi. Bu görünümle göğüs röntgenogramlarında sınırları net seçilemeyen genel radyolüsen azalması olarak (Şekil 3), BT'de ise sınırları belirsiz artmış dansite alanları şeklinde görüldü (Şekil 4). Bu patolojik görünümle 12. 24. ve 48. saat grafilerinde mevcuttu. Kontrol grubundaki deneklerde ise tüm histopatolojik ve radyolojik incelemeler normal olarak değerlendirildi. Makroskopik ve mikroskopik bulguların ortak görüldüğü 14 denek istatistiksel çalışmaya alındı. Verilerin istatistiksel olarak de-



Şekil 1. Renk değişikliği pozitif olan bir denekte akciğerin makroskopik görünümü.



Şekil 2. Şekil 1'de görülen denegin akciğerinde hemorajik infarkt alanı (I) ve civarındaki kollabe alveolar sahanın mikroskopik görünümü (HE x 200).

ğerlendirilmesi sonucu kontrol ve çalışma grupları arasında makroskopik-mikroskopik ve radyolojik bulgular anlamlı derecede farklı bulundu ($p < 0.05$). Çalışma grubunda; makroskopik-mikroskopik ve BT'de tespit edilen patolojik bulgular arasındaki fark istatistiksel olarak anlamsız

($p > 0.05$) ve makroskopik-mikroskopik ve göğüs röntgenogramı bulguları arasındaki fark anlamlı bulundu ($p < 0.05$). BT ve göğüs röntgenogramlarının histopatolojik lezyonları görüntüleme oranları karşılaştırıldığında ise BT'nin anlamlı derecede üstün olduğu görüldü ($p < 0.05$).

TARTIŞMA

Akcığer lezyonlarının değerlendirilmesinde, göğüs röntgenogramları primer görüntüleme yöntemi olmakla

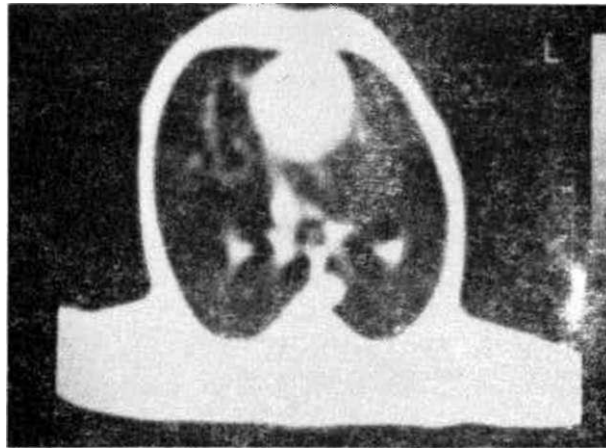
Tablo 1. Histopatolojik ve radyolojik bulguların dağılımı

Makroskopik Bulgular Renk Değ. (n)*	Mikroskopik Bulgular			Radyolojik Bulgular			B.T.
	F. Kanama	H. Infarkt	P. İnfiltr.	D.H.G.**	P.M.B.***	Göğüs Rönt.	
14	10	8	8	9	15	3	11

*:Lezyon pozitif denek sayısı, **:Distal havayollarında genişleme, ***:Pozitif mikroskopik bulgu



Şekil 3. Şekil 1'de görülen deneğin PA göğüs röntgenogramında konsolidasyonla uyumlu radyolüsen azalması.



Şekil 4. Şekil 1'de görülen deneğin toraks BT incelenmesinde konsolidasyonla uyumlu sınırları belirsiz artmış d an site alanları.

birlikte, her zaman yeterli bilgi vermemektedir. Bunun temel nedenlerinden biri lezyonların, yöntemin çözümüleme gücüne ulaşacak boyuta gelmemiş olmasıdır. Göğüs röntgenogramlarında 0.5-1 cm çapındaki lezyonlar görülmeyebilir. Kontrast rezolüsyonu, göğüs röntgenogramından belirgin derecede yüksek olan BT ile süperpozisyonlar ve yetersiz kontrast rezolüsyon nedeni ile saptanamayan küçük boyutlu lezyonlar görülebilir (15). Kimyasal pnömonide alveoler seviyesindeki havanın yerini sıvı veya inflamatuvar materyal almakta ve radyolojik görünüm bu değişimin derecesine göre farklılıklar göstermektedir. En erken bulgu sınırları net ol-

mayan yaklaşık 1 cm çaplı alveolar nodüler lezyonlardır. Konsolidasyonun artmasına paralel olarak nodüller birleşmekte ve daha büyük opasifiye alanlar oluşmaktadır (14).

Bizim sonuçlarımız makroskopik-mikroskopik lezyonların radyolojik olarak görüntülenmesinde göğüs röntgenogramlarının yetersiz olduğunu göstermektedir. Göğüs röntgenogramlarının lezyonlarını görüntüleme teknik dezavantajları dikkate alındığında beklenen bir durumdur. Ancak deneklerimizin sadece 3 tanesinde (%15) göğüs röntgenogramı ile lezyon görülmesi literatüre göre belirgin derecede düşüktür (6,7). Bu farkın nedeni deneklerimizin akciğer dokularının ve dolayısıyla lezyonların insanlara göre daha küçük boyutta ve daha düşük dansitede olması ve lezyonların yöntemin çözümüleme gücüne ulaşacak boyuta gelmemiş olmalarıdır. BT'de lezyonların daha iyi ve fazla oranda tespiti ise olağan teknik üstünlükten kaynaklanmaktadır.

Bulgularımıza dayanarak, özellikle 1-5 yaş grubu çocukların problemlerinden olan hidrokarbon zehirlenmesine bağlı kimyasal pnömoninin saptanması için öncelikle göğüs röntgenogramları ve bunun yetersiz olması halinde hospitalizasyon açısından BT ile değerlendirilmesinin uygun olacağı söylenebilir.

KAYNAKLAR

1. Gurwitz D, Kattan M, Lenison H, Çulham JAG. Pulmonary function abnormalities in asymptomatic children after hydrocarbon pneumonitis. *Pediatrics* 1978; 62:789-94.
2. Eade NR, Taussig LM, Marks MI. Hydrocarbon pneumonitis. *Pediatrics* 1974; 54:351-6.
3. Wolfsdorf J. Kerosene intoxication: An experimental approach to the etiology of the CNS manifestations in primates. *J Pediatr* 1976; 88:1037-40.
4. Machado B, Cross K, Snodgrass WR. Accidental hydrocarbon ingestion cases telephoned to a regional poison center. *Ann Emerg Med* 1988; 17:804-7.
5. Zucker AR, Berger S, Wood LDH. Management of kerosene-induced pulmonary injury. *Crit Care Med* 1986; 14:303-4.
6. Brown C, Burke B, Dajani AS. Experimental kerosene pneumonia: Evaluation of some therapeutic regimens. *J Pediatr* 1974; 84:396-401.
7. Dudin AA, Rambaut-Cousson A, Thalji A, Jubeh II, Ahmad HM, Libdeh BA. Accidental kerosene ingestion: a 3-year prospective study. *Ann Trop Paediatr* 1991; 11:155-61.

8. Khun JP, Slovis THL, Silverman FN, Kuhns LR. The neck and respiratory system. In: Silverman FN, Kuhn JP, eds. *Caffey's pediatric x-ray diagnosis*. St Louis: Mosby, 1993: 345-696.
9. Arena JM. Hydrocarbon poisoning-current management. *Pediatr Ann* 1987; 16:879-83.
10. Scott PP. Hydrocarbon ingestion. An usual cause of multiple pulmonary pseudotumors. *South Med J* 1989; 82:1032-33.
11. Karlson KH. Hydrocarbon poisoning in children. *South Med J* 1982; 75:839-40.
12. Goodwin SR, Berman LS, Tabeling BB, Sundlof SF. Kerosene aspiration: Immediate and early pulmonary and cardiovascular effects. *Vet Hum Toxicol* 1988; 30:521-4.
13. Sagel SS, G lazer HS. Lung, pleura, chest wall. In: Lee JKT, Sagel SS, Stanley RJ, eds. *Computed body tomography with MRI correlation*. New York: Raven Press, 1989: 295-386.
14. Gamsu G. The lungs. In: Moss AA, Gamsu G, Genant HK, eds. *Computed tomography of the body*. Philadelphia: WB Saunders Co, 1992:157-236.
15. Tuncel E. *Klinik radyoloji*. Bursa: Güneş Nobel Tıp Kitabevi, 1994: 113-95.